

**58107.1-2018**



Н  
2018

58107.1—2018

1 . . . » ( « ») - -

2 332 « , -

3 8 21 2018 . No 626- -

4

29 2015 . 162- « 26 -

) ( ) « ( ) 1 -

» . « » . -

(www.gost.ru)

© , . 2018

General use automobile roads fighting. Norms and methods of calculation

— 2019—03—01

1

( — ) , -  
:  
- , , -  
- , , -  
- , - :  
, .

2

8

33175 -  
33382 .  
54984 .  
55392 .  
55708 .  
56228 .  
58107.2 -  
58107.3 -  
— — « -  
». 1 ,



**4**

4.1

4.1.1

$L$ ,  $U_Q$ ,  $U$ ,  $U_h$ ,  $E_h$ ,  $TI$ ,  $66^\circ$ ,  $U_h$ ,  $SR$

4.1.2

1

33362	t. Wm <sup>2</sup> .	" -			Tt.%,	
1	1.6	0.40	U, <sup>7</sup> U	20	0,35	10
1	1.2			15		
IB. II	1.0		0.60	10	8.0	0,25
111	0.80	0.35	0.50			
IV	0.60		0.40			
V	0.40					

4.1.3

4.1.4

10

4.1.5

20

65 50, 30 10 1 80°. 85° 90°

10

4.1.6

4.1.7

4.1.8

54984. I II  
30 % 50 %  
1/3 1/5

4.1.9

4.1.10

MF.

- 0.7 —
- 0,75 —
- 0.8 —

58107.1—2018

4.1.11

$D_{p'}$   
50 / 2

$D_p$

4.2

4.2.1

$U_h$

2.

2

	- .	
• 1. II; - III. IV	15 10	0.25
	10	0.10
	20	0.25
	6.0	0.10

4.2.2

30

1

4.2.3

(

4.2.4

10

1.3

— 10

4.3

4.3.1

$E_h$

(

1.3

— 10

$U_h$

0.30.

( )

4.3.2

$E_h$

3.

$U_h$

3

• * • * •	50 20 20	0.20
• : •	50 20	
10 . 20 . — , -		

8  $U_h$  — 0,10.  $E_h$  10 . -  
15° . \*

4.4

4.4.1

$U_{h'}$  4.

4

• * •	5.0 10	0.30
	4.0	020

4.4.2  
60

5

5.1

5.1.1

5.1.2

55708.

55708.

5

58107.1—2018

5.1.3		$L$	$E_h$	77	-
	$MF$ ,	$MF$ .			
	1.				
5.2					
5.2.1		$L, / ^2.$			-
	$/$ —				
		55708;			
	—	, "1.			55708;
	—	, ;			
	$MF$ —	;			
	—				
5.2.2			$Lp, / ^2.$		-
					(2)
	$L_k$ —	fc-ro .	(1).		
5.2.3		$L, / ^2.$		$N_o$	
					(3)
	$L,$ —		(2).		
5.2.4			$U_o$		-
			$L$		(4)
5.2.5			$U,$		
				$t_{min}$	-
	$L_{max}$				(5)
5.2.6			TI. %.		
			55708.		
			$/$		-
			$L$		(6)
	—				
	—			(9).	
				0.20.	
5.3					
5.3.1		$E_h$ .			

$$\dots / \cos^3 e \quad MF \rightarrow (7)$$

55708;  
MF—  
5.3.2

$$\sum_{k=1}^{N_{hk}} \dots (8)$$

$E_{hk}$ —  
5.3.3

$$\bar{E}_h = \frac{1}{N_o} \sum_{i=1}^{N_t} E_{h,i} \dots (9)$$

$E_{hj}$ —  
5.3.4

$$U_h \gg E_{bfin} t \dots (10)$$

$E_{hmin}$ —  
5.3.5

$$\dots SR \dots (11)$$

$E_s u$  —

(9)

**6**

6.1

6.2

58107.3

(t. 1/ , )

66°

( ,  $U_h$ )  
SR

58107.2.

58107.2

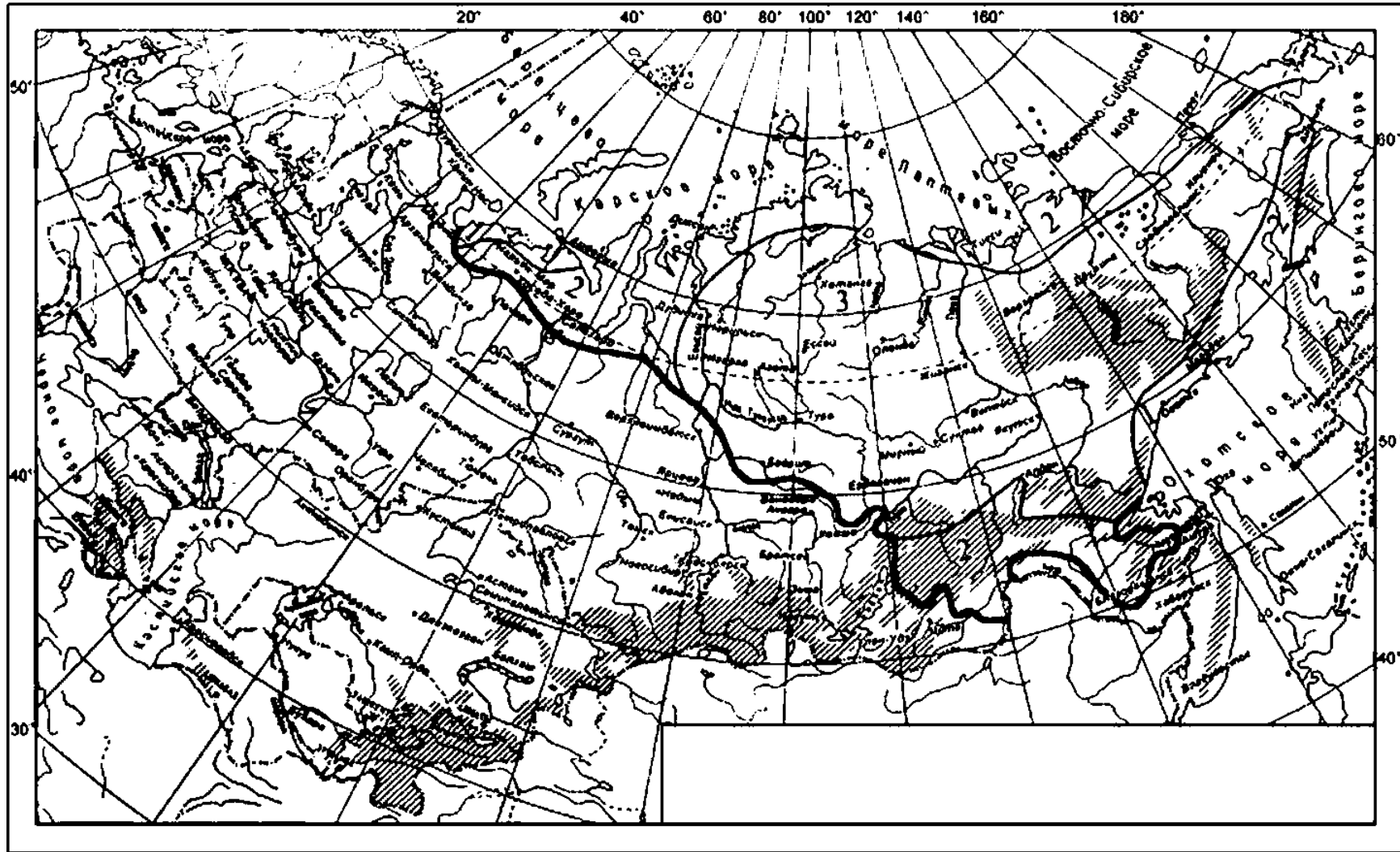
6.3

5.2.6

33175.

( )

Схематическая карта северной строительно-климатической зоны



58107.1—2018

( )

55708.  $D_p / 2$

15

» • ( .1)

— /- . :  
 — ;  
 ( — , 2;  
 — - 5.3. ;  
 — , —  $D_0$  —  
 ( )  
 ( )  
 .1  
 ( ) ;  
 , — ( )  
 , ( )  
 ,

"JH" in « — — / «		XXX XX 1
1 \ XXXX		XXX XX 1
< »	XXIX XXX X X\ X XX X X UC X X X ' ,	XXX XXX XXX
*	X X X X X X X X X X X X X X X X X X X X X X X X	XXX XXX XXX
it?		
it:	14 ' X' X Jt k lt Mi, « 5 5 5 5 ^ 5 5 5 5 1	

*Pa*

~ : , : } — :  
 « »

.1 —  $D_0$

58107.1—2018

$$P_R - A_{FI} \cdot \frac{D_p}{E_{pR} + E_{pf}(A_{fR})} \quad (2)$$

721:535.241.46:006.354

: 93.080.40

( ), ; ( ), , ,

5—2018/71

24.03.2016.

04.10.2016.

60\*64'/g

. . . 1.40 - . . . 1.26

« >17416 . - . . 31. . 2.

www.gostinfo.ru inro@gostinfo.ru